УДК 661.842'065:622.357.8].014/.019

# СИНТЕЗ И ИССЛЕДОВАНИЕ АДСОРБЦИОННО-СТРУКТУРНЫХ СВОЙСТВ ГИДРОМЕТАСИЛИКАТА КАЛЬЦИЯ НА ОСНОВЕ ДИАТОМИТА

© 2024 г. А. Г. Манукян<sup>1, \*</sup>

<sup>1</sup> Институт общей и неорганической химии Национальной академии наук Республики Армения, ул. Аргутяна 2-й пер., 10, Ереван, 0051 Армения

\*e-mail: hasmikgmanukyan@gmail.com

Поступила в редакцию 10.08.2023 г. После доработки 22.12.2023 г. Принята к публикации 23.12.2023 г.

Установлены оптимальные условия известковой обработки диатомита Джрадзорского месторождения (Армения), при которых полученный гидрометасиликатный продукт обладает высокой удельной поверхностью, адсорбционной и фильтрационной способностью. Методами дериватографии, ИК-спектроскопии, рентгенографии установлен механизм образования гидрометасиликата кальция С–S–H(I) при известковой обработке диатомита. По изотермам адсорбции паров воды и бензола изучены адсорбционно-структурные свойства гидрометасиликата кальция и на их основе рассчитаны параметры пористой структуры. Показана эффективность применения гидрометасиликата кальция С–S–H(I) в качестве фильтрующего и адсорбирующего материала.

**Ключевые слова:** диатомит, известковое молоко, гидрометасиликат кальция, удельная поверхность, фильтрационные и адсорбционные свойства

DOI: 10.31857/S0002337X24010022, EDN: MILHWK

## **ВВЕДЕНИЕ**

Диатомиты являются высококремнистыми породами, сложены преимущественно структурной разновидностью опала ( $SiO_2 \cdot nH_2O$ ) [1]. Благодаря своим физическим свойствам и химическому составу, фической форме и макроструктуре пер-(эффективный вичных частиц  $r_{\rm cp} = 0.3 - 1.6$  мкм) природные диатомиты находят широкое применение в химической, нефтехимической, пищевой, медицинской, строительной, цементной промышленности [1-7]. Наиболее перспективно и экономически выгодно использовать эти природные ископаемые для производства адсорбентов, фильтровальных порошков, катализаторов и наполнителей [8—13].

Несмотря на пористую структуру и высокое содержание аморфного кремнезема, удельная поверхность (10—40 м<sup>2</sup>/г), адсорбционные, фильтрационные свойства при-

родных диатомитов относительно невелики. Для улучшения этих свойств наиболее дешевым и эффективным способом является известковая обработка диатомитов [14, 15].

В литературе [15] взаимодействие  $Ca(OH)_2$  с диатомитом рассматривается как хемосорбция — реакция с поверхностными  $OH^-$ -группами кремнезема, на первой стадии представляющая собой взаимодействие слабой кислоты (константа диссоциации  $10^{-9.8}$ ) с сильным основанием

$$2(-S_{i}^{\dagger}-O-)H + Ca(OH)_{2} = (-S_{i}^{\dagger}-O-)_{2}Ca + 2H_{2}O.$$

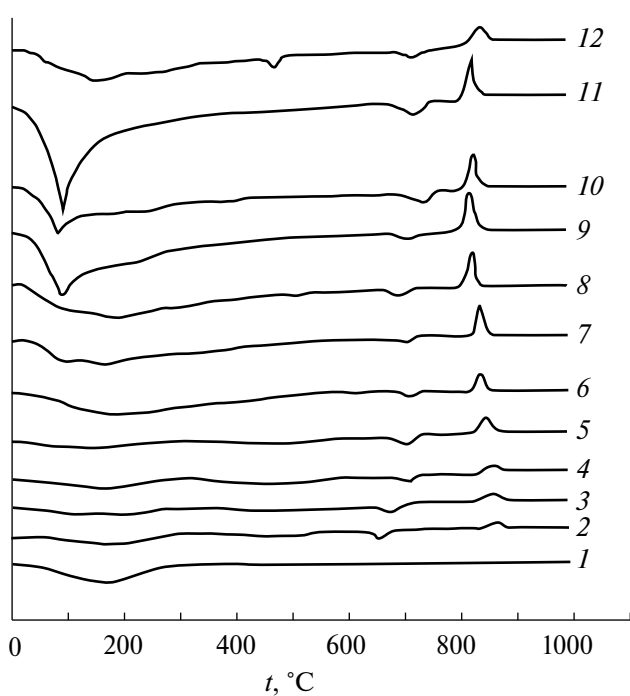
Следующей стадией этого взаимодействия является разрыв связей Si—O—Si с образованием аморфных кальциевых гидросиликатов различного состава (до температуры  $100~^{\circ}$ С при молярных отношений CaO :  $SiO_2 \leq 1.5$  образуются гидросиликаты кальция C—S—

Таблица 1. Химический состав диатомитов после их известковой обработки
(температура обработки 95 °C, продолжительность 6 ч)

Молярное отношение	Содержание, мас. %						Удельная		
СаО: SiO <sub>2</sub> в исходной смеси	SiO <sub>2</sub>	Fe <sub>2</sub> O <sub>3</sub>	Al <sub>2</sub> O <sub>3</sub>	СаО (общ.)			п.п.п.	поверхность по адсорбции азота, м <sup>2</sup> /г	рН водной вытяжки
Исходный диатомит	86.50	0.36	5.24	1.50	_	2.29	6.18	37	7.6
0.05	79.00	0.18	4.71	7.40	_	1.10	8.49	65	9.1
0.10	74.13	0.19	4.61	9.75	_	1.40	10.97	96	9.2
0.20	69.96	0.17	4.99	11.66	_	1.20	12.64	138	9.0
0.30	62.99	0.17	4.36	16.85	_	1.50	14.98	200	9.1
0.40	58.30	0.17	4.33	21.00	_	1.98	16.15	190	9.5
0.50	51.60	0.16	4.30	24.38	_	2.05	19.62	150	9.8
0.60	50.30	0.18	4.33	28.11	_	2.70	17.11	130	9.9
0.70	47.60	0.18	5.00	31.30	_	2.70	15.74	100	10.2
0.80	38.50	0.17	4.37	28.65	_	2.90	27.88	95	10.0
0.90	36.00	0.17	4.30	30.54	0.25	1.90	28.90	67	11.6
1.15	36.90	0.15	4.20	40.08	2.50	2.30	18.60	65	12.4

H(I) и тоберморит 14Å), часть которых может кристаллизоваться [16, 17].

Работа посвящена синтезу и изучению свойств гидрометасиликатного продукта при известковой обработке диатомита в гид-



**Рис. 1.** ДТА-кривые исходного диатомита (*1*) и обработанных образцов (2-12) (температура обработки 95 °C, продолжительность 6 ч); молярное отношение CaO : SiO<sub>2</sub> в исходной смеси: 2-0.05, 3-0.1, 4-0.2, 5-0.3, 6-0.4, 7-0.5, 8-0.6, 9-0.7, 10-0.8, 11-0.9, 12-1.15.

ротермальных условиях, а также рассмотрению механизма превращения диатомита в гидрометасиликат кальция. Объектом исследований являлся диатомит Джарадзорского месторождения с содержанием общего кремнезема 86.50 мас. % (в том числе аморфного 77.01) и примесей 15.57 (табл. 1).

### ЭКСПЕРИМЕНТАЛЬНАЯ ЧАСТЬ

Известковую обработку диатомита проводили в металлическом реакторе, снабженном пропеллерной мешалкой и обратным холодильником. Для выбора оптимальных условий обработку проводили при температуре 50-95 °C и массовом соотношении X : T = (4-10) : 1, молярном отношении CaO: SiO<sub>2</sub> в исходной смеси 0.05-1.25. Известковое молоко с концентрацией СаО 150 г/л готовили гашением извести, полученной путем обжига известняка (СаСО3 ~ 97 мас. %). Через определенные промежутки времени (1-10 ч) из реактора отбирали пробы. Отфильтрованные, промытые и высушенные (при температуре 120 °C до постоянного веса) продукты подвергали комплексным физико-химическим исследованиям.

Для всех исследуемых образцов определяли удельную поверхность методом БЭТ

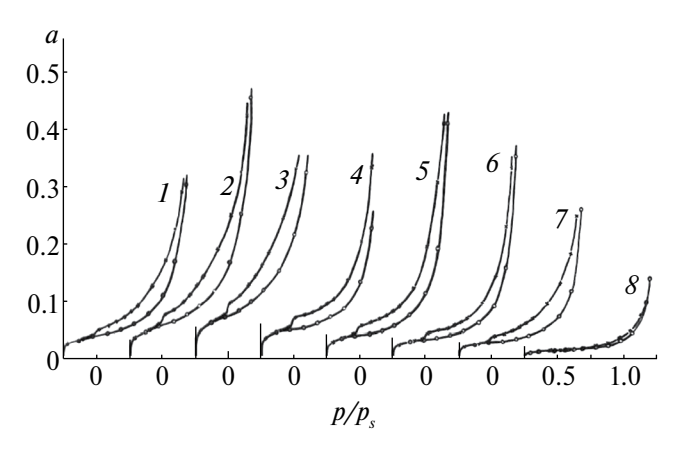
по низкотемпературной адсорбции азота [18], измеряли изотермы адсорбции паров воды и бензола и на их основе рассчитывали параметры пористой структуры [19, 20]. Термический анализ проводили на дериватографе фирмы МОМ при скорости подъема температуры 5 °С/мин, ИК-спектроскопический анализ – на приборе Specord IR в области 400-4000 см $^{-1}$ , рентгенофазовый на дифрактометре URD63 с использованием  $CuK_{\alpha}$ -излучения и никелевого фильтра. Идентификацию линий дифрактограмм проводили по базе данных ICPDS-1CDD 2004. Химический состав, адсорбционные и фильтрационные свойства определяли по известным методикам [20, 21].

# РЕЗУЛЬТАТЫ И ОБСУЖДЕНИЕ

Химический состав и некоторые свойства исходного и обработанного диатомита Джрадзорского месторождения приведены в табл. 1. Как видно, исходные компоненты полностью взаимодействуют до молярного отношения  $CaO: SiO_2 = 0.8$  включительно, при дальнейшем увеличении этого отношения в полученном осадке появляется своболный CaO.

Скачкообразное повышение рН водной вытяжки диатомитов, обработанных при молярном отношении 0.9-1.15 (табл. 1; рис. 1, кривая 12) связано с появлением в этих образцах некоторого количества несвязанного гидроксида кальция (рН водной вытяжки чистого гидрометасиликата кальция составляет 10.4—10.6 [15, 17]). Температура и продолжительность известковой обработки играют существенную роль в изменении удельной поверхности гидрометасиликатного продукта. Оптимальными условиями известковой обработки, при которых диатомит обладает максимальной удельной поверхностью до  $200 \text{ м}^2/\Gamma$ , являются: массовое соотношение X:T=(5-7):1, температура термообработки 95-97 °C, продолжительность 6 ч, молярное отношение CaO : SiO<sub>2</sub> в исходной смеси 0.3 (табл. 1).

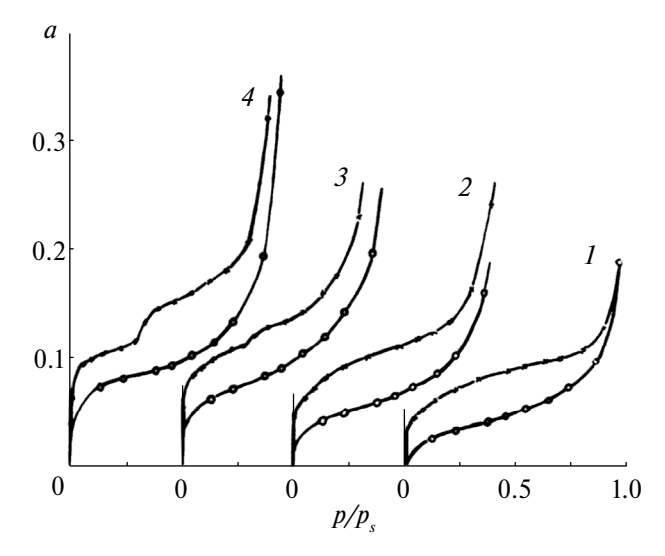
ДТА-кривые (рис. 1) обработанных образцов имеют вид, характерный для гидрометасиликата кальция типа С—S—H(I) (по классификации Тейлора [16, 22, 23]) с мо-



**Рис. 2.** Изотермы адсорбции паров бензола при температуре 20 °C для исходного диатомита ( $\delta$ ) и обработанных образцов (1-7) (температура обработки 95 °C, продолжительность 6 ч); молярное отношение CaO: SiO<sub>2</sub> висходной смеси: 1-0.1, 2-0.2, 3-0.3, 4-0.5, 5-0.6, 6-0.8, 7-0.9.

лярным отношением CaO :  $SiO_2 \le 1.5$ ). Образование гидрометасиликатов C-S-H(I) в процессе известковой обработки отражено на кривой ДТА экзотермическим эффектом при температуре 850-870 °C, относящимся к превращению C-S-H(I) в волластонит. Можно отметить, что при молярном отношении  $CaO : SiO_2 = 1.15$  в исходной смеси высокотемпературное плечо и диффузионность экзотермического эффекта связаны с тем, что в этом температурном интервале 870-900 °C в волластонит превращается непрерывный ряд гидрометасиликатов кальция типа C-S-H(I) с молярным отношением CaO :  $SiO_2 > 0.8$ . На ДТА-кривых всех образцов эндотермический эффект при 670-700 °C связан с дегидроксилированием гидрометасиликата кальция, удалением мостиковых групп, а при 800-860 °C — с разложением небольшого количества карбоната кальция, всегда присутствующего в синтетических гидрометасиликатах кальция [17]. Данный эндотермический эффект декарбонизации всегда переходит в экзотермический эффект превращения гидрометасиликата кальция C-S-H(I) в волластонит.

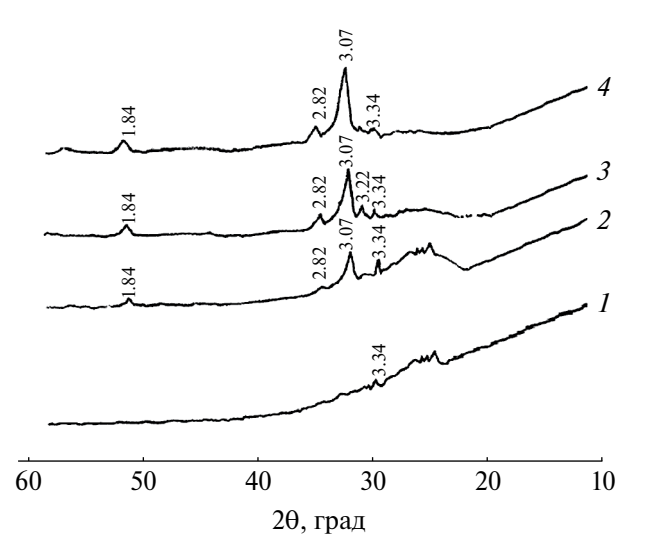
Изотермы адсорбции паров воды и бензола для исследуемых образцов (рис. 2, 3) после их известковой обработки имеют гистерезис типа Б по классификации Де-Бура [24], характерный для слоистых адсорбентов [19, 20]. Ширина петля гистерезиса увеличивается с ростом молярного отношения



**Рис. 3.** Изотермы адсорбции паров воды при температуре 20 °C для исходного диатомита (*I*) и обработанных образцов (*2*–*4*) (температура обработки 95 °C, продолжительность 6 ч); молярное отношение CaO :  $SiO_2$  в исходной смеси: *2* – 0.1, *3* – 0.3, *4* – 0.6.

СаО :  $SiO_2$  в исходной смеси. На десорбционных ветвях в интервалах  $p:p_s=0.20-0.25$  (при адсорбции паров бензола) и 0.25-0.3 (при адсорбции паров воды) наблюдается изгиб, вызванный адсорбцией этих паров в межслоевом пространстве новообразующихся гидрометасиликатов кальция типа C-S-H(I).

Общий объем пор у обработанных диатомитов резко увеличивается с увеличением молярного отношения в исходной смеси от 0.1 до 0.3, а в интервале 0.3—0.9 понижается.



**Рис. 4.** Дифрактограммы исходного диатомита (*I*) и обработанных образцов (2-4) (температура обработки 95 °C, продолжительность 6 ч); молярное отношение CaO: SiO<sub>2</sub> в исходной смеси: 2-0.2, 3-0.4, 4-0.8.

При CaO :  $SiO_2 = 0.3$  обработанный диатомит имеет максимальные объем пор и удельную поверхность (табл. 1, табл. 2). Благодаря аморфной однородной поверхности и структурным особенностям (присутствию на поверхности аморфного кремнезема активных центров с ненасыщенными связами [16]) диатомиты, обработанные известковым молоком, обладают развитой пористой структурой и повышенной сорбционной способностью [15, 19].

**Таблица 2.** Адсорбционно-структурные характеристики диатомитов после обработки известковым молоком (температура обработки 95 °C,  $p/p_s$ = 0.95)

Молярное отношение CaO : SiO <sub>2</sub>	$V_{\Pi}$ , см <sup>3</sup> /г по ад			
в исходной смеси	воды	бензола	$r_{\Pi}, A$	
Исходный диатомит	0.122	0.085	65	
0.1	0.535	0.521	11	
0.2	0.640	0.597	11	
0.3	0.717	0.702	11	
0.4	0.660	0.681	11	
0.5	0.510	0.489	9	
0.6	0.668	0.692	12	
0.7	_	_	12	
0.8	0.565	0.480	13	
0.9	_	_	13	
1.15	0.775	0.745	13	

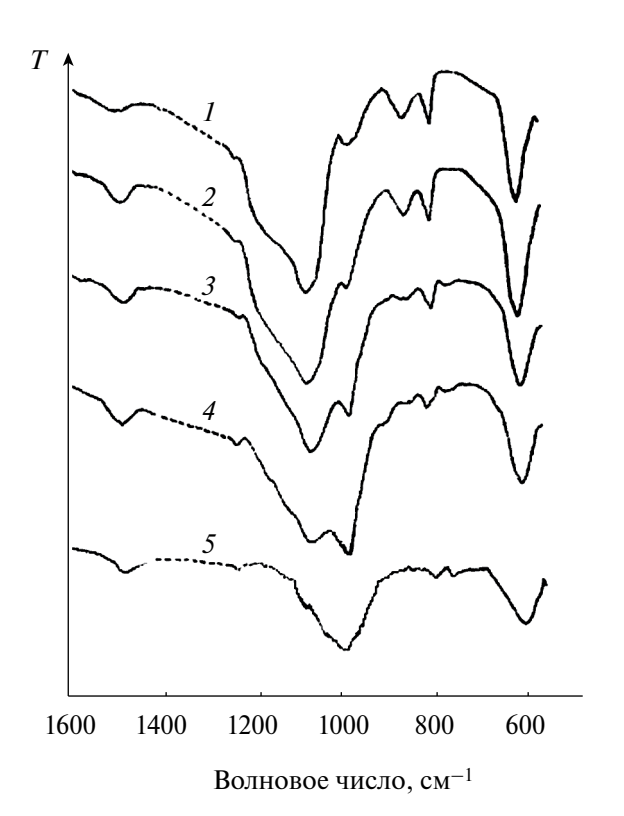
Примечание.  $V_{\Pi}$  – общий объем пор,  $r_{\Pi}$  – средний радиус пор.

Порошок	Продолжительность фильтрации, с	Скорость фильтрации, $M^3/(M^2 c)$	Светопропускание,	Степень отбеливания, %			
	Исходный уайт-спирит						
C-S-H(I)	69	8.7	72	67.4			
«Специаль-2»	75	7.2	64	48.8			
«Кизельгур»	83	6.5	62	21.0			
	Исходный перхлорэтилен						
C-S-H(I)	69	8.7	72	67.3			
«Специаль-2»	75	7.2	63	48.5			
«Кизельгур»	84	6.4	61	20.8			

**Таблица 3.** Адсорбционные и фильтрационные свойства исходного уайт-спирита и перхлорэтилена через слой исследуемых порошков

Примечание. Светопропускание исходного уайт-спирита 57%, перхлорэтилена 56.5%.

С увеличением молярных отношений  $CaO: SiO_2$  в исходной смеси на дифрактограммах (рис. 4) появляются и усиливаются рефлексы при 3.04, 2.62, 1. 64 Å, которые характерны для гидросиликата кальция типа C-S-H(I) (карточка 11-0211). Одновременно с этим исчезает гало в интервале 3.5-4.5 Å, характерное для рентгеноаморфной разно-



**Рис. 5.** ИК-спектры исходного диатомита (*1*) и обработанных образцов (2-5) (температура обработки 95 °C, продолжительность 6 ч); молярное отношение CaO: SiO<sub>2</sub> в исходной смеси: 2-0.1, 3-0.3, 4-0.8, 5-1.25.

видности опала (карточка 38—0448), из которого сложены панцири диатомей. В то же время кварц, присутствующий в диатомитовой породе, не претерпевает сколько-нибудь заметных превращений, о чем свидетельствует неизменность интенсивности рефлекса 3.34 Å на дифрактограммах.

С увеличением молярных отношений  $CaO: SiO_2$  в исходной реакционной смеси на ИК-спектрах (рис. 5) синтезированных продуктов уменьшается интенсивность полос поглощения при 1100 и 800 см<sup>-1</sup>, присущих аморфному кремнезему, а при молярном отношении  $CaO: SiO_2 = 0.8$  они полностью исчезают. Одновременно появляется и возрастает полоса поглощения при 975 см<sup>-1</sup>, обусловленная симметричными колебаниями мостиковых Si-O-Si-связей и свойственная гидрометасиликатам кальция [25].

Таким образом, рентгенографические и ИК-спектроскопические исследования также подтверждают образование гидрометасиликатов кальция и согласуются с данными [6, 15, 25].

В табл. 3 приведены адсорбционные и фильтрационные свойства обработанных диатомитов. Для сравнения там же приведены соответствующие данные для промышленных фильтрующих порошков «Специаль—2» и «Кизельгур».

Отличительной особенностью фильтрующих порошков является несжимаемость фильтрующего слоя, что позволяет сохранять в нем сквозные поры, способные про-

пускать жидкость, но задерживать твердые частицы. Исследование гранулометрического состава гидрометасиликата кальция типа C-S-H(I), проведенное по методике [26], показало, что в образцах преобладают частицы размерами 20—100 мкм. Такой гранулометрический состав образцов создает возможность их плотной укладки в фильтрующем слое и обеспечивает высокую степень очистки органических растворителей при достаточно большой скорости фильтрации [27, 28]. Проведенные исследования (табл. 3) показывают, что гидрометасиликат кальция типа C-S-H(I) по скорости фильтрации и по адсорбционной способности значительно превосходит традиционные фильтрующие порошки.

# ЗАКЛЮЧЕНИЕ

Установлены оптимальные условия известковой обработки диатомита Джрадзорского месторождения, при которых полученный гидрометасиликатный продукт обладает высокой удельной поверхностью, адсорбирующей и фильтрующей способностью: массовое соотношение  $\mathbb{X}: T = (5-7): 1$ , температура — 95—97, продолжительность 6 ч, молярное отношение  $\mathbb{C}aO: SiO_2 = 0.3$ .

На основании комплексного изучения механизма известковой обработки диатомита установлено, что при определенных условиях происходит разрушение первичной структуры диатомита, гидроксид кальция реагирует с аморфным кремнеземом с образованием гидрометасиликат кальция типа С—S—H(I).

По изотермам адсорбции паров воды и бензола рассчитаны параметры пористой структуры исследуемых образцов.

Результаты сравнения адсорбционных и фильтрационных свойств исследуемых диатомитов после известковой обработки и традиционных фильтрующих порошков «Специаль—2» и «Кизельгур» показывают, что гидрометасиликат кальция типа С—S—H(I) на основе диатомита Джрадозорского месторождения можно рекомендовать в качестве адсорбирующего фильтрующего порошка в процессе очистки отработанных органических растворителей.

#### КОНФЛИКТ ИНТЕРЕСОВ

Автор заявляет, что у нее нет конфликта интересов.

# СПИСОК ЛИТЕРАТУРЫ

- 1. Кремнистые породы СССР / Под ред. Дистанова У.Г. Казань: Татар. кн. изд., 1976. 412 с.
- 2. *Антипина С.А., Верещагин В.И.* Фазовый состав и свойства известково-кремнеземистых вяжущих // Строительные материалы. 2008. № 11. С. 48–49.
- 3. Serkan Dal, Muchait Sutcu, Mustafa sabri Gok, Osman Gencel. Characteristics of Lightweight Diatomite Based Insulating firebricks // J. Korean Ceram. Soc. 2020. V. 57. № 3. P. 184—191. https://doi.org/10.1007/s43207—020—00020—5
- 4. *Логанина В.И., Смирнов Е.Е.* Повышение эффективности применения диатомита в отделочных составах // Современное промышленное и гражданское строительство. 2012. Т. 8. № 1. С. 45–52.
- 5. *Иванов С.Э., Беляков А.В.* Диатомит и области его применения // Стекло и керамика. 2008. Т. 81. № 2. С. 18—22
- 6. *Elden H., Morsy G., Bokr M.* Diatomite: Characterization, Modifications and Applications // Asian J. Mater. Sci. 2010. V. 2. № 3. P. 121–136. https://doi.org/10.3923/ajmskr.2010.121.136
- 7. *Taylor Jr.*, *Harold A*. Diatomite // Am. Ceram. Soc. Bull. 1995. V. 74. № 6. P. 122–122.
- 8. *Tsai W.-T.*, *Lai C.-W.*, *Hsien K.-J.* Characterization and Adsorption Properties of Diatomaceous Earth Modified by Hydrofluoric acid Etching // J. Colloid Interface Sci. 2006. V. 29. № 2. P. 749–754. https://doi.org/10.1016/j.jcis2005.10.058
- 9. *Мдивнишвили О.М., Уридия Л.Я.* Способ получения фильтрующего материала на основе диатомита: A. c. 1599055 СССР, МКИ В 01 D 39/00, В 01 20/14.
- 10. Убаськина Ю.А., Арсентьев И.В., Фетюхина Е.Г., Коростелева Ю.А., Адаев Т.В. Исследование минералогического состава диатомита для его безопасной добычи и применения в промышленности // Вестн. Белгород. гос. технол. ун-та им. В. Г. Шухова. 2016. № 1. С. 128—132.

- 11. *Gao R.*, *Gu Y.*, *Li G.*, *Sun Q.* Study on Preparation and Adsorption Properties of Diatomite Based Porous Ceramsite // Nature Environ. Pollution Technol. 2016. V. 16. № 4. P. 1283–1286.
- 12. Houwaida Nefzi, Latifa Latrous EI Atrache.
  Application of Diatomite as a Biosorbent
  Material for the Removal of Chlortoluron and
  Isoproturon from Water // J. Mater. Environ.
  Sci. 2018. V. 9. № 5. P. 1614–1621.
  https://doi.org/10.26872/jmes.2018.9.3.104
- 13. Senol Z.M., Senol Arslan D., Simsek S. Preparation and Characterization of a Novel Diatomite Based Composite and Investigation of its Adsorption Properties for Uranyl Ions//J. Radioanal. Nucl. Chem. 2019. V. 321. P. 791—803. https://doi.org/10.1007/s10967 019 06662 y
- 14. *Мартиросян Г.Г., Манукян А.Г., Овсепян Э.Б., Костанян К.А.* Исследование адсорбционно—структурных свойств природных и обработанных диатомитов // Журн. прикл. химии. 2003. Т. 76. № 4. С. 551—555.
- 15. Дмитриев П.П. Известковая активация природных минеральных сорбентов для нефтепродуктов. Ташкент: ФАН, 1975. 85 с.
- 16. *Taylor F.W.* The Calcium Silicate Hydrates The Chemistry of Cements, N. Y. V. 1, 467 p.
- 17. *Либау* Ф. Структурная химия силикатов. М.: Мир, 1988. 410 с.
- 18. *Грег С., Сингх Н.* Адсорбция, удельная поверхность, пористость. М.: Мир, 1970. 408 с.
- 19. *Дубинин М.М.* Адсорбция и пористость. М.: Наука, 1976. 127 С.

- 20. Экспериментальные методы адсорбции и молекулярной хроматографии / Под. ред. Киселева А.В. М.: МГУ, 1976. 198 с.
- 21. *Пономарев А.И.* Методы химического анализа силикатных и карбонатных горных пород. М.: АН СССР, 1961. 414 с.
- 22. Пашкевич А.А., Броневой В.А., Краус И.П. Термография продуктов глиноземного про-изводства. М.: Металлургия, 1983. 130 с.
- 23. *Манукян А.Г.* Дериватографический метод анализа для исследования механизма известковой обработки диатомитов // Сб. матер. VI междунар. конф. «Химия и химическая технология». Ереван: Изд. ИОНХ НАН РА, 2019. С. 92—94.
- 24. *De Boer Y.H., Linsen B.G., Osinga Th.J.* Studies on Pore Systems in Catalysts: VI. The Universal t Curve // J. Catal. 1965. V. 4. № 6. P. 643-648. https://doi.org/10.1016/0021-9517(65)90263-0
- 25. *Лазарев А.И*. Колебательные спектры и строение силикатов. Л.: Наука, 1968. 163 с.
- 26. Справочник по производству строительной керамики / Под. ред. Юшкевича О.М. М.: Госстройиздат, 1961. Т. 1. 464 с.
- 27. Конюхова Т.П., Дистанов У.Г., Михайлова О.А., Сенаторова С.З., Чуприна Т Н. Способ получения диатомитовых фильтрующих порошков: A. c. 2237510 C1 RU.
- 28. Убаськина Ю.А., Алехина М.Б. Адсорбция хорошо растворимых органических соединений на диатомите // Физикохимия поверхности и защита материалов. 2023. Т. 59. № 2. С. 122—127.
  - https://doi.org/10.31857/S0044 85623700134